

УДК 517.958

В. Д. Душкін

МАТЕМАТИЧНА МОДЕЛЬ РОЗСІЮВАННЯ ХВИЛЬ НА ІМПЕДАНСНОМУ ЕКРАНІ ЗІ ЩІЛИНАМИ, РОЗТАШОВАНОМУ НА ЕКРАНОВАНОМУ ДІЕЛЕКТРИЧНОМУ ШАРІ

Початкова задача розсіювання H -поляризованої хвилі на імпедансній відбиваючій структурі зведена до системи граничних інтегральних рівнянь першого і другого роду. У виведенні інтегральних рівнянь застосований метод параметричних перетворень інтегральних операторів.

К л ю ч о в і с л о в а: імпедансні відбиваючі структури, крайові умови третього роду, метод параметричних інтегральних перетворень.

Постановка проблеми та її актуальність. Необхідність урахування поглинання енергії в матеріалі у процесі моделювання процесів збудження резонансних систем зумовлює створення математичних моделей, що враховують кінцеву провідність матеріалів [1]. Математично наявність втрат енергії часто описується за допомогою умови Щукіна – Леонтовича на поверхні не ідеально провідних екранів [2]:

$$[nE] = -Z_s \cdot [n[nH]], \quad (1)$$

де (E, H) – повне електромагнітне поле; Z_s – поверхневий імпеданс структури; n – зовнішня нормаль до поверхні.

Значна частина застосовуваних у техніці електродинамічних пристроїв складається з діелектричних шарів різних матеріалів, розділених плоскими металевими екранами зі щілинами. Тому побудова математичних моделей процесів розсіювання електромагнітних хвиль на цих структурах, що враховують кінцеву провідність екранів, є актуальним завданням для дослідників.

Аналіз останніх досліджень та публікацій. Один з ефективних способів побудови математичних моделей електродинамічних систем полягає у використанні методу параметричних сингулярних інтегральних перетворень [3; 4]. Цей метод дозволяє звести вихідні крайові задачі до еквівалентних систем інтегральних рівнянь. Отримані системи інтегральних рівнянь чисельно розв'язують за методом дискретних особливостей [5; 6; 8].

За допомогою такого підходу проведено дослідження розсіювання електромагнітних хвиль надпровідними стрічками [7; 8] та дифракції електромагнітної хвилі на плоскому півнескінченному хвилеводі з надпровідним фланцем [9].

Мета статті – побудова математичної моделі розсіювання H -поляризованої хвилі на відбиваючій імпедансній структурі, що складається з екрана зі щілинами, розташованого на екранованому діелектричному шарі, на базі системи граничних інтегральних рівнянь.

Виклад основного матеріалу. Розглянемо дифракційну структуру (рис. 1). У площині $z = -D$ лежить нескінченний екран, на ньому розташований шар діелектрика, діелектрична проникність якого ε_1 . На шарі діелектрика розташований нескінченний екран зі щілинами. Екрани виготовлені з матеріалу, що має кінцеву провідність. Над описаною структурою, в області $z > 0$, – півпростір з діелектричною проникністю $\varepsilon_0 = 1$.

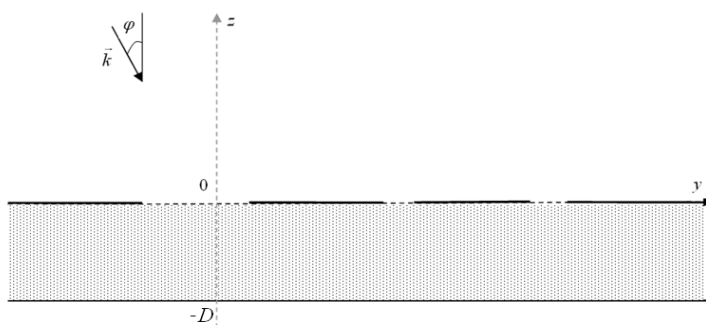


Рис. 1. Перетин електродинамічної структури площиною YOZ

Нехай

$$L = \left\{ y \in R \mid y \in \bigcup_{q=1}^M (\alpha_q, \beta_q) \right\}, \quad (2)$$

а у координати точок площини $z = 0$ вільні від металу.

Введемо позначення: область

$$\Omega_0 = \{(y, z) \in R^2 \mid z > 0, y \in R\} \quad (3)$$

є півпростором над структурою, область

$$\Omega_1 = \{(y, z) \in R^2 \mid y \in R, -D < z < 0\} \quad (4)$$

є частиною простору, заповненою діелектриком.

Розглянемо стаціонарну задачу, де залежність полів від часу задається множителем $e^{-i\omega t}$.

Нехай з нескінченності зверху на електродинамічну структуру похило падає H -поляризована плоска електромагнітна хвиля одиничної амплітуди:

$$U_0(y, z) = H_{0,x}(y, z) = \exp(ik(y \cdot \sin \phi - z \cdot \cos \phi)), \quad k = \frac{\omega}{c}, \quad (5)$$

де c – швидкість світла у вакуумі.

У задачі необхідно знайти повне поле $u(y, z) = H_x(y, z)$, яке виникло в результаті розсіювання хвилі на розглянутій дифракційній структурі. Повне поле задовольняє в областях Ω_i , ($i = 0, 1$) рівнянню Гельмгольца:

$$\Delta u + k^2 \sqrt{\varepsilon_i} \cdot u = 0, \quad (y, z) \in \Omega_i, \quad (i = 0, 1) \quad (6)$$

та умові Майкснера на ребрі. Розсіяне поле – різниця повного і падаючого полів, задовольняє умові випромінювання Зоммерфельда:

$$\lim_{r \rightarrow \infty} \sqrt{r} \cdot \left(\frac{\partial(u - U_0)}{\partial r} - ik \cdot (u - U_0) \right) = 0, \quad r = \sqrt{y^2 + z^2}. \quad (7)$$

У випадку H -поляризації наслідком умов Шукіна–Леонтовича є граничні співвідношення:

$$\frac{\partial}{\partial z} u - ik \sqrt{\frac{\varepsilon_0 \varepsilon}{\mu_0 \mu}} Z_s u = 0. \quad (8)$$

Нехай $U(y, z)$ – рішення в області $z > 0$ допоміжної крайової задачі дифракції монохроматичної хвилі $U_0(y, z)$, визначене формулою (7), на суцільному нескінченному екрані з неідеальною провідністю, який повністю заповнює площину $z = 0$.

Згідно з граничними умовами (8) виконується рівність:

$$\frac{\partial U(y, 0)}{\partial z} - h \cdot U(y, 0) = 0, \quad y \in R, \quad (9)$$

де

$$h = ik \sqrt{\frac{\varepsilon_0}{\mu_0}} Z_s. \quad (10)$$

Поле

$$U(y, z) = \exp\{ik(y \cdot \sin \phi - z \cdot \cos \phi)\} + \frac{ik \cos \phi + h}{ik \cos \phi - h} \cdot \exp\{ik(y \cdot \sin \phi + z \cdot \cos \phi)\} \quad (11)$$

має властивість:

$$U(y, d_1) = \frac{2ik \cos \phi}{ik \cos \phi - h} \cdot \exp\{ik(y \cdot \sin \phi)\}. \quad (12)$$

Повне поле $u(y, z)$, яке виникло в результаті розсіювання хвилі на решітці, подаємо у вигляді:

$$u(y, z) = \begin{cases} U(y, z) + u_0(y, z), & (y, z) \in \Omega_0; \\ u_1(y, z), & (y, z) \in \Omega_1. \end{cases} \quad (13)$$

Введемо позначення:

$$\gamma_i(\lambda) = \sqrt{\lambda^2 - k^2 \varepsilon_i}, \quad \lambda \in R, \quad (i = 0, 1). \quad (14)$$

Поле $u_0(y, z)$ в області Ω_0 представимо у вигляді інтеграла Фур'є:

$$u_0(y, z) = \int_{-\infty}^{\infty} \frac{C_0(\lambda)}{\gamma_0(\lambda)} \cdot Z_0(\lambda, z) \cdot e^{i\lambda y} d\lambda, \quad (15)$$

де

$$Z_0(\lambda, z) = -\frac{1}{1+h \cdot \gamma_0^{-1}(\lambda)} \cdot e^{-\gamma_0(\lambda) \cdot z}. \quad (16)$$

Функція $Z_0(\lambda, z)$ має властивість:

$$\frac{\partial}{\partial z} Z_0(\lambda, 0) - h\sqrt{\varepsilon_0} \cdot Z_0(\lambda, 0) = \gamma_0(\lambda). \quad (17)$$

Умови випромінювання Зоммерфельда будуть виконані, якщо

$$\operatorname{Re}(\gamma_0(\lambda)) \geq 0, \quad \operatorname{Im}(\gamma_0(\lambda)) \leq 0, \quad \lambda \in R. \quad (18)$$

Поле $u_1(y, z)$ в області Ω_1 представимо у вигляді інтеграла Фур'є:

$$u_1(y, z) = \int_{-\infty}^{\infty} \frac{C_1(\lambda)}{\gamma_1(\lambda)} \cdot Z_1(\lambda, z) \cdot e^{i\lambda y} d\lambda. \quad (19)$$

Функція $Z_1(\lambda, z)$ має властивості:

$$\frac{\partial}{\partial z} Z_1(\lambda, 0) + h\sqrt{\varepsilon_1} \cdot Z_1(\lambda, 0) = \gamma_1(\lambda), \quad (20)$$

$$\frac{\partial}{\partial z} Z_1(\lambda, -D) - h\sqrt{\varepsilon_1} \cdot Z_1(\lambda, -D) = 0, \quad (21)$$

та вигляд:

$$Z_1(\lambda, z) = \frac{\operatorname{ch}(\gamma_1(\lambda)(z+D)) + \Delta(\lambda) \cdot \operatorname{sh}(\gamma_1(\lambda)(z+D))}{(1+\Delta^2(\lambda)) \cdot \operatorname{sh}(\gamma_1(\lambda)D) + 2\Delta(\lambda) \cdot \operatorname{ch}(\gamma_1(\lambda)D)}, \quad (22)$$

$$\Delta(\lambda) = \gamma_1^{-1}(\lambda) \cdot h\sqrt{\varepsilon_1}. \quad (23)$$

Наслідком умов Шукіна – Леонтовича (8) на поверхні екранів є співвідношення:

$$\frac{\partial u_0}{\partial z}(y, 0) - h\sqrt{\varepsilon_0} \cdot u_0(y, 0) = 0, \quad y \in CL = R \setminus L; \quad (24)$$

$$\frac{\partial u_1}{\partial z}(y, 0) + h\sqrt{\varepsilon_1} \cdot u_1(y, 0) = 0, \quad y \in CL. \quad (25)$$

З (24), (25) і подань полів (16), (20), (27) виходять співвідношення:

$$\int_{-\infty}^{\infty} C_0(\lambda) \cdot e^{i\lambda y} d\lambda = 0, \quad y \in CL; \quad (26)$$

$$\int_{-\infty}^{\infty} C_1(\lambda) \cdot e^{i\lambda y} d\lambda = 0, \quad y \in CL. \quad (27)$$

З умови зв'язку полів та їх похідних на межі розділу середовищ у щілинах екранів виходять рівності:

$$U(y, 0) + u_0(y, 0) = u_1(y, 0), \quad y \in L; \quad (28)$$

$$\frac{1}{\varepsilon_0} \left(\frac{\partial U}{\partial z}(y, 0) + \frac{\partial u_0}{\partial z}(y, 0) \right) = \frac{1}{\varepsilon_1} \frac{\partial u_1}{\partial z}(y, 0), \quad y \in L. \quad (29)$$

З умов зв'язку полів на межі розділу середовищ (37–40) і подань полів (16), (20), (27) отримуємо інтегральні співвідношення:

$$U(y, 0) + \int_{-\infty}^{\infty} \frac{C_0(\lambda) \cdot Z_0(\lambda, 0)}{\gamma_0(\lambda)} \cdot e^{i\lambda y} d\lambda = \int_{-\infty}^{\infty} \frac{C_1(\lambda) \cdot Z_1(\lambda, 0)}{\gamma_1(\lambda)} \cdot e^{i\lambda y} d\lambda, \quad y \in L; \quad (30)$$

$$\frac{1}{\varepsilon_0} \left(\frac{\partial U}{\partial z}(y, d_1) + \int_{-\infty}^{\infty} \frac{C_0(\lambda)}{\gamma_0(\lambda)} \cdot \frac{\partial}{\partial z} Z_0(\lambda, 0) e^{i\lambda y} d\lambda \right) = \frac{1}{\varepsilon_1} \int_{-\infty}^{\infty} \frac{C_1(\lambda)}{\gamma_1(\lambda)} \frac{\partial}{\partial z} Z_1(\lambda, 0) \cdot e^{i\lambda y} d\lambda, \quad y \in L. \quad (31)$$

Ураховуючи властивості (17), (20) функцій $Z_i(\lambda, z)$, ($i = 0, 1$), рівняння (31) матиме такий вигляд:

$$\begin{aligned} \frac{1}{\varepsilon_0} \frac{\partial U}{\partial z}(y, d_1) + \frac{1}{\varepsilon_0} \int_{-\infty}^{\infty} C_0(\lambda) e^{i\lambda y} d\lambda + \frac{h}{\sqrt{\varepsilon_0}} \int_{-\infty}^{\infty} \frac{C_0(\lambda)}{\gamma_0(\lambda)} \cdot Z_0(\lambda, 0) e^{i\lambda y} d\lambda = \\ = \frac{1}{\varepsilon_1} \int_{-\infty}^{\infty} C_1(\lambda) \cdot e^{i\lambda y} d\lambda - \frac{h}{\sqrt{\varepsilon_1}} \int_{-\infty}^{\infty} \frac{C_1(\lambda)}{\gamma_0(\lambda)} \cdot Z_1(\lambda, 0) e^{i\lambda y} d\lambda, \quad y \in L. \end{aligned} \quad (32)$$

Перетворимо функції, що входять в ядра інтегральних рівнянь (30) та (32), для зручності подальших перетворень:

$$\frac{Z_0(\lambda, 0)}{\gamma_0(\lambda)} = -\frac{1}{\gamma_0(\lambda) + h} = -\frac{1}{\gamma_0(\lambda)} - W_0(\lambda); \quad (33)$$

$$\frac{Z_1(\lambda, d_2)}{\gamma_1(\lambda)} = \frac{1}{\gamma_1(\lambda)} \cdot \frac{\text{cth}(\gamma_1(\lambda)D) + \Delta(\lambda)}{(1 + \Delta^2(\lambda)) + 2\Delta(\lambda) \cdot \text{cth}(\gamma_1(\lambda)D)} = \frac{1}{\gamma_1(\lambda)} + W_1(\lambda), \quad (34)$$

де

$$W_0(\lambda) = -\frac{h}{\gamma_0(\lambda)(\gamma_0(\lambda) + h)} = O\left(\frac{1}{\lambda^2}\right), \quad \lambda \rightarrow \infty; \quad (35)$$

$$\begin{aligned} W_1(\lambda) = \frac{1}{\gamma_1(\lambda)} \cdot \frac{\text{cth}(\gamma_1(\lambda)D) - 1}{(1 + \Delta^2(\lambda)) + 2\Delta(\lambda) \cdot \text{cth}(\gamma_1(\lambda)D)} - \\ - \frac{\Delta(\lambda)}{\gamma_1(\lambda)} \cdot \frac{2\text{cth}(\gamma_1(\lambda)D) - 1 + \Delta(\lambda)}{(1 + \Delta^2(\lambda)) + 2\Delta(\lambda) \cdot \text{cth}(\gamma_1(\lambda)D)} = O\left(\frac{1}{\lambda^2}\right), \quad \lambda \rightarrow \infty. \end{aligned} \quad (36)$$

З урахуванням (33–36), перетворимо інтегральні співвідношення (30), (32), після чого вони матимуть вигляд:

$$\begin{aligned} \int_{-\infty}^{\infty} \frac{C_0(\lambda)}{\gamma_0(\lambda)} e^{i\lambda y} d\lambda + \int_{-\infty}^{\infty} C_0(\lambda) \cdot W_0(\lambda) e^{i\lambda y} d\lambda + \int_{-\infty}^{\infty} \frac{C_1(\lambda)}{\gamma_1(\lambda)} e^{i\lambda y} d\lambda + \\ + \int_{-\infty}^{\infty} C_1(\lambda) \cdot W_1(\lambda) e^{i\lambda y} d\lambda = U(y, 0), \quad y \in L; \end{aligned} \quad (37)$$

$$\begin{aligned} \frac{1}{\varepsilon_1} \int_{-\infty}^{\infty} C_1(\lambda) \cdot e^{i\lambda y} d\lambda - \frac{1}{\varepsilon_0} \int_{-\infty}^{\infty} C_0(\lambda) e^{i\lambda y} d\lambda - \\ - \frac{h}{\sqrt{\varepsilon_1}} \int_{-\infty}^{\infty} \frac{C_1(\lambda)}{\gamma_1(\lambda)} e^{i\lambda y} d\lambda + \frac{h}{\sqrt{\varepsilon_0}} \int_{-\infty}^{\infty} \frac{C_0(\lambda)}{\gamma_0(\lambda)} \cdot e^{i\lambda y} d\lambda + \\ + \frac{h}{\sqrt{\varepsilon_0}} \int_{-\infty}^{\infty} C_0(\lambda) \cdot W_0(\lambda, 0) e^{i\lambda y} d\lambda - \frac{h}{\sqrt{\varepsilon_1}} \int_{-\infty}^{\infty} C_1(\lambda) \cdot W_1(\lambda) e^{i\lambda y} d\lambda = \frac{1}{\varepsilon_0} \frac{\partial U}{\partial z}(y, 0), \quad y \in L. \end{aligned} \quad (38)$$

Введемо до розгляду функції:

$$F_0(y) = \frac{\partial u_0}{\partial z}(y, 0) - h\sqrt{\varepsilon_0} \cdot u_0(y, 0) = \int_{-\infty}^{\infty} C_0(\lambda) \cdot e^{i\lambda y} d\lambda, \quad y \in R; \quad (39)$$

$$F(y) = \frac{\partial u_1}{\partial z}(y, 0) + h\sqrt{\varepsilon_1} \cdot u_1(y, 0) = \int_{-\infty}^{\infty} C_1(\lambda) \cdot e^{i\lambda y} d\lambda, \quad y \in R. \quad (40)$$

Внаслідок (24–25) мають місце рівності:

$$F_0(y) = 0, \quad F_1(y) = 0. \quad (41)$$

Отже, справедливі такі Фур'є-подання:

$$C_0(\lambda) = \frac{1}{2\pi} \int_L F_0(t) \cdot e^{-i\lambda t} dt, \quad \lambda \in R. \quad (42)$$

$$C_1(\lambda) = \frac{1}{2\pi} \int_L F_1(t) \cdot e^{-i\lambda t} dt, \quad \lambda \in R. \quad (43)$$

За допомогою відомих інтегральних виразів функцій Бесселя і Неймана нульового порядку:

$$J_0(y) = \frac{2}{\pi} \int_0^1 \frac{\cos(yt) dt}{\sqrt{1-t^2}}, \quad Y_0(|y|) = -\frac{2}{\pi} \int_0^{\infty} \frac{\cos(yt) dt}{\sqrt{1-t^2}}, \quad (44)$$

отримуємо співвідношення:

$$\int_{-\infty}^{\infty} \frac{C_0(\lambda)}{\gamma_0(\lambda)} e^{i\lambda y} d\lambda = \frac{i}{2} \int_{L^+} H_0^1(k\sqrt{\varepsilon_0}|y-t|) F_0(t) dt, \quad (45)$$

$$\int_{-\infty}^{\infty} \frac{C_1(\lambda)}{\gamma_1(\lambda)} e^{i\lambda y} d\lambda = \frac{i}{2} \int_{L^\pm} H_0^1(k\sqrt{\varepsilon_1}|y-t|) F_1(t) dt, \quad (46)$$

де $H_0^1(y) = J_0(y) + i \cdot N_0(y)$ – функція Ганкеля першого роду нульового порядку.

Для зручності подальших записів введемо позначення:

$$Q_i(y, t) = \pi \int_0^{\infty} W_i(\lambda) \cos(\lambda(y-t)) d\lambda, \quad (i = 0, 1). \quad (47)$$

Зауважимо також, що

$$\int_{-\infty}^{\infty} C_i(\lambda) \cdot W_i(\lambda) e^{i\lambda y} d\lambda = \frac{1}{\pi} \int_L Q_i(y, t) F_i(t) dt, \quad (i = 0, 1). \quad (48)$$

Враховуючи інтегральні співвідношення (44–47), переходимо від системи інтегральних рівнянь (58–61) щодо невідомих Фур'є-амплітуд $C_0(\lambda)$ і $C_1(\lambda)$ до системи інтегральних рівнянь щодо невідомих функцій $F_0(y)$ і $F_1(y)$:

$$\begin{aligned} \frac{i}{2} \int_L H_0^1(k\sqrt{\varepsilon_0}|y-t|) F_0(t) dt + \frac{1}{\pi} \int_L Q_0(y, t) F_0(t) dt + \frac{i}{2} \int_L H_0^1(k\sqrt{\varepsilon_1}|y-t|) F_1(t) dt + \\ + \frac{1}{\pi} \int_L Q_1(y, t) \cdot F_1(t) dt = U(y, 0), \quad y \in L; \end{aligned} \quad (49)$$

$$\begin{aligned} \frac{1}{\varepsilon_1} F_1(y) - \frac{1}{\varepsilon_0} F_0(y) + \frac{h}{\sqrt{\varepsilon_0}} \frac{i}{2} \int_L H_0^1(k\sqrt{\varepsilon_0}|y-t|) F_0(t) dt - \frac{h}{\sqrt{\varepsilon_1}} \frac{i}{2} \int_L H_0^1(k\sqrt{\varepsilon_1}|y-t|) F_1(t) dt + \\ + \frac{h}{\sqrt{\varepsilon_0}} \frac{1}{\pi} \int_L Q_0(y, t) F_0(t) dt - \frac{h}{\sqrt{\varepsilon_1}} \frac{1}{\pi} \int_L Q_1(y, t) \cdot F_1(t) dt = \frac{1}{\varepsilon_0} \frac{\partial U}{\partial z}(y, 0), \quad y \in L; \end{aligned} \quad (50)$$

де

$$f(\xi) = \frac{1}{\varepsilon_0} \frac{\partial U}{\partial z}(y, 0). \quad (51)$$

Виходячи з властивостей фізичних полів, шукатимемо звуження функцій $F_0(y)$ і $F_1(y)$ у вигляді:

$$F_0(y) = \frac{v_{0,q}(y)}{\sqrt{(y-\alpha_q)(\beta_q-y)}}, \quad y \in (\alpha_q, \beta_q), \quad (q = 1, \dots, M), \quad (52)$$

$$F_1(y) = \frac{v_{1,q}(y)}{\sqrt{(y-\alpha_q)(\beta_q-y)}}, \quad y \in (\alpha_q, \beta_q), \quad (q = 1, \dots, M), \quad (53)$$

де

$$v_{0,q}(y) \in C^{n,\psi} [\alpha_q, \beta_q], \quad (q = 1, \dots, M), \quad (54)$$

$$v_{1,q}^+(y) \in C^{n,\psi} [\alpha_q, \beta_q], \quad (q = 1, \dots, M), \quad \psi > 0. \quad (55)$$

Уведемо відображення:

$$g_q: [-1, 1] \rightarrow [\alpha_q, \beta_q], \quad g_q(t) = \frac{\beta_q - \alpha_q}{2} \tau + \frac{\beta_q + \alpha_q}{2}, \quad (q = 1, \dots, M) \quad (56)$$

та позначення:

$$V_{0,q}(\tau) = v_{0,q}(g_q(\tau)), \quad (q = 1, \dots, M); \quad (57)$$

$$V_{1,q}(\tau) = v_{1,q}(g_q(\tau)), \quad (q = 1, \dots, M); \quad (58)$$

$$R_{1,q,m}(\xi, \tau) = -Q_0(g_q(\xi), g_m(\tau)) - \left(\frac{i\pi}{2} H_0^1(k\sqrt{\varepsilon_0} |g_q(\xi) - g_m(\tau)|) + \delta_{q,m} \ln|\tau - \xi| \right), \quad (q = 1, \dots, M), \quad (m = 1, \dots, M); \quad (59)$$

$$R_{2,q,s}(\xi, \tau) = -Q_1(g_q(\xi), g_s(\tau)) - \left(\frac{i\pi}{2} H_0^1(k\sqrt{\varepsilon_0} |g_q(\xi) - g_s(\tau)|) + \delta_{q,s} \ln|\tau - \xi| \right), \quad (q = 1, \dots, M), \quad (s = 1, \dots, M); \quad (60)$$

$$R_{3,q,m}(\xi, \tau) = \frac{h}{\sqrt{\varepsilon_0}} Q_0(g_q(\xi), g_m(\tau)) + \left(\frac{i\pi}{2} H_0^1(k\sqrt{\varepsilon_0} |g_q(\xi) - g_m(\tau)|) + \delta_{q,m} \ln|\tau - \xi| \right), \quad (q = 1, \dots, M), \quad (m = 1, \dots, M); \quad (61)$$

$$R_{4,q,s}(\xi, \tau) = -\frac{h}{\sqrt{\varepsilon_1}} Q_0(g_q(\xi), g_s(\tau)) - \left(\frac{i\pi}{2} H_0^1(k\sqrt{\varepsilon_0} |g_q(\xi) - g_s(\tau)|) + \delta_{q,s} \ln|\tau - \xi| \right), \quad (q = 1, \dots, M), \quad (s = 1, \dots, M). \quad (62)$$

Використовуючи (56–62), перейдемо від системи інтегральних рівнянь (49), (50) на системі відрізків L до системи інтегральних рівнянь на стандартному інтервалі $(-1, 1)$.

$$\begin{aligned} & \frac{1}{\pi} \int_{-1}^1 \ln|\tau - \xi| \left| \frac{V_{0,q}(\tau) d\tau}{\sqrt{1-\tau^2}} + \frac{1}{\pi} \int_{-1}^1 \ln|\tau - \xi| \left| \frac{V_{1,q}(\tau) d\tau}{\sqrt{1-\tau^2}} + \frac{1}{\pi} \sum_{m=1}^M \int_{-1}^1 R_{1,q,m}(\xi, \tau) \frac{V_{0,m}(\tau) d\tau}{\sqrt{1-\tau^2}} + \right. \right. \\ & \left. \left. + \frac{1}{\pi} \sum_{s=1}^M \int_{-1}^1 R_{2,q,s}(\xi, \tau) \frac{V_{1,q}(\tau) d\tau}{\sqrt{1-\tau^2}} \right. \right. = -U(g_q(\xi), 0), \quad |\xi| \leq 1, \quad (q = 1, \dots, M); \quad (63) \end{aligned}$$

$$\begin{aligned} & \frac{1}{\varepsilon_1} \frac{2}{\beta_q - \alpha_q} \frac{V_{1,q}(\xi)}{\sqrt{1-\xi^2}} - \frac{1}{\varepsilon_0} \frac{2}{\beta_q - \alpha_q} \frac{V_{0,q}(\xi)}{\sqrt{1-\xi^2}} - \\ & - \frac{h}{\sqrt{\varepsilon_0}} \frac{1}{\pi} \int_{-1}^1 \ln|\tau - \xi| \left| \frac{V_{0,q}(\tau) d\tau}{\sqrt{1-\tau^2}} \right| + \frac{h}{\sqrt{\varepsilon_1}} \frac{1}{\pi} \int_{-1}^1 \ln|\tau - \xi| \left| \frac{V_{1,q}(\tau) d\tau}{\sqrt{1-\tau^2}} \right| + \\ & + \frac{1}{\pi} \sum_{m=1}^M \int_{-1}^1 R_{3,q,m}(\xi, \tau) \frac{V_{0,m}(\tau) d\tau}{\sqrt{1-\tau^2}} + \frac{1}{\pi} \sum_{s=1}^M \int_{-1}^1 R_{4,q,s}(\xi, \tau) \frac{V_{1,q}(\tau) d\tau}{\sqrt{1-\tau^2}} = f(g_q(\xi)), \\ & |\xi| \leq 1, \quad (q = 1, \dots, M). \end{aligned} \quad (64)$$

Висновки

1. Отримана система інтегральних рівнянь (63–64) відрізняється від систем інтегральних рівнянь завдань дифракції на інших не ідеально провідних структурах:

– всі інтегральні рівняння залежать від декількох невідомих функцій, і розв'язувати кожне з рівнянь не можна окремо від інших;

– у системі присутні рівняння першого та другого роду.

2. Чисельне розв'язання системи сингулярних інтегральних рівнянь (63) та (64) виконується за допомогою методу дискретних особливостей [5; 6; 8] з використанням квадратурних формул інтерполяційного типу.

Надалі передбачається розглянути багатозарову електродинамічну систему, що складається з довільного кінцевого числа есканів.

Список використаних джерел

1. Ильинский, А. С. Колебания и волны в электродинамических системах с потерями [Текст] / А. С. Ильинский, Г. Я. Слепян. – М. : Изд-во Моск. ун-та, 1983. – 231 с.
2. Кравченко, В. Ф. Электродинамика сверхпроводящих структур. Теория, алгоритмы и методы вычислений [Текст] / В. Ф. Кравченко. – М. : ФИЗМАТЛИТ, 2006. – 280 с.
3. Гандель, Ю. В. Параметрические представления сингулярных интегральных преобразований и краевые задачи математической физики [Текст] / Ю. В. Гандель // Нелинейные краевые задачи математической физики и их приложения. – К. : Ин-т математики НАН Украины, 1995. – С. 65–66.
4. Gandel', Yu. V. Parametric representations of integral and pseudodifferential operators in diffraction problems [Text] / Yu. V. Gandel' // Conf. Proc., 10th Int. Conf. on Math. Methods in Electromagnetic Theory, Dnepropetrovsk, Ukraine, Sept. 14–17, 2004. – P. 57 – 62.
5. Gandel', Yu. V. On the Justification of the Method of Discrete Singularities for Two-Dimensional Diffraction Problems [Text] / Yu. V. Gandel', I. K. Lifanov, T. S. Polyanskaya. // Differential Equations, Vol. 31, № 9, 1995. – P. 1491–1497.
6. Lifanov, I. K. Singular Integral Equations and Discrete Vortices [Text] / I. K. Lifanov. – Utrecht, Netherlands; Tokyo, Japan: VSP, 1996. – 475 p.
7. Гандель, Ю. В. Рассеяние электромагнитных волн тонкой сверхпроводящей лентой [Текст] / Ю. В. Гандель, В. Ф. Кравченко, В. И. Пустовойт // Доклады РАН, 1996. – Т. 351, № 4. – С. 462–464.
8. Гандель, Ю. В. Дифракция электромагнитных волн на решётке из тонких сверхпроводящих лент [Текст] / Ю. В. Гандель, В. Ф. Кравченко, Н. Н. Морозова // Электромагнитные волны и электронные системы. – М. : Радиотехника, 1997. – Т. 2, № 2. – С. 14–26.
9. Gandel', Yu. V. Mathematic models of diffraction and radiation problem for planar waveguide with impedance with impedance flange [Text] / Yu. V. Gandel', N. N. Morozova // Proceedings of International Conference on Mathematical Methods in Electromagnetic theory, Lviv, Ukraine, 1996. – P. 88–91.

Стаття надійшла до редакції 04.01.2012 р.